

## پیش بینی فعالیت ضدسرطانی مشتقات او-۸-نفتیریدین توسط روش الگوریتم ژنتیک-رگرسیون خطی چندگانه

شهین احمدی<sup>۱</sup>، روح الله خانی<sup>۲</sup>، مریم مقدس<sup>۳</sup>

<sup>۱</sup> استادیار دانشگاه گروه شیمی، واحد کرمانشاه، دانشگاه آزاد اسلامی، کرمانشاه، ایران

<sup>۲</sup> دانشجوی ارشد دانشگاه - گروه شیمی دارویی، علوم پزشکی تهران ، دانشگاه آزاد اسلامی، تهران، ایران

<sup>۳</sup> استادیار دانشگاه - گروه شیمی، واحد صفادشت، دانشگاه آزاد اسلامی، صفادشت، ایران

---

### چکیده

سابقه و هدف: این مطالعه به مقایسه مدل سازی QSAR فعالیت ضد سرطانی ترکیبات او-۴-دی هیدرو-۴-اکسو-۱-تیازولیل)-۱ او-۱-نفتیریدین و مشتقات آن با روش رگرسیون خطی چندگانه مرحله ای (S-MLR) و روش الگوریتم ژنتیک-رگرسیون خطی چندگانه (GA-MLR) پرداخت.

روشن بررسی: مجموعه ای از ۱۰۰ ترکیب با فعالیت ضد سرطانی مشخص از مقاله معتبر بین المللی انتخاب شد و روش میدان نیروی آلینجر MM2 برای کمینه کردن انرژی مولکول ها استفاده شد. ساختار هندسی مولکول ها از طریق روش کوانتم نیمه تجربی روش آostin با استفاده از الگوریتم پلاک-ریبایر (Polak-Ribiere) با استفاده از نرم افزار موپک بهینه سازی شدند. تعداد زیادی از توصیفگرهای تئوری برای هر مولکول با استفاده از نرم افزار دراگون محاسبه شد. به منظور انتخاب بهترین دسته از توصیفگرهای برای مدل سازی QSAR از دو روش انتخاب متغیر ترکیب الگوریتم ژنتیک-رگرسیون خطی چندگانه و رگرسیون خطی چندگانه مرحله ای استفاده شد. برای مدل سازی ابتدا نمونه برداری تصادفی دسته آموزش (۱۰ درصد از داده ها) ۲۰ بار به صورت تصادفی صورت گرفته و مولکول های باقیمانده (۲۰ درصد باقیمانده از داده ها) به عنوان دسته پیشگویی برای اعتبارسنجی خارجی استفاده شدند. در میان نمونه های تصادفی، یکی از نمونه ها با بالاترین  $Q^2test$  و  $Q^2cal$  و  $Q^2CV$  به عنوان بهترین دسته یادگیری و آموزش انتخاب شد. با استفاده از این دسته یادگیری هر بار مدل به دو روش S-MLR و GA-MLR پیجاد شد.

یافته ها: مدل های QSAR به دست آمده با GA-MLR محدود ضریب همبستگی اعتبارسنجی بزرگتری نسبت به روش S-MLR داشتند.

نتیجه گیری: نتایج این مقایسه نشان می دهد که می توان با استفاده از مدل حاصل، فعالیت ترکیبات ضد سرطانی مشابه را پیشگویی کرد.

واژگان کلیدی: مدل سازی QSAR، فعالیت ضد سرطان، انتخاب متغیر، Stepwise-MLR، GA-MLR

---

سرطان، بیماری هولناک ایدز، بیماری های مشترک انسان و دام و مقاوم شدن ویروس ها در برابر آنتی بیوتیک ها همه از جمله مواردی هستند که ذهن دانشمندان را در جهت یافتن داروهای مؤثر و کارآمد برای مقابله با این بیماری ها معطوف خود کرده اند (۱).

روندي که در گذشته منجر به کشف داروهای جدید می شد به روش آزمون و خطا صورت می گرفت که روش وقت گیر و هزینه بر است. مشکل دیگری که در این راه دانشمندان را آزار می دهد عدم اطلاع آن ها از فعالیت دارویی ترکیبات، قبل از انجام سنتز و بررسی تجربی آن ها است و به همین دلیل یکی از

### مقدمه

یکی از مشکلاتی که جامعه بشری همیشه با آن روبه رو است، مقابله با انواع بیماری هایی است که سلامت انسان ها را به مخاطره انداخته و همواره یکی از مهم ترین دغدغه های محققان یافتن داروهای مؤثر، برای رفع این معضل و کاهش عوارض این بیماری ها بوده است. بروز انواع بیماری ها از قبیل

آدرس نویسنده مسئول: کرمانشاه، دانشگاه آزاد کرمانشاه، گروه شیمی تجزیه، شهین احمدی

(email: ahmadi.chemometrics@gmail.com)

تاریخ دریافت مقاله: ۹۶/۹/۲۷

تاریخ پذیرش مقاله: ۹۶/۱۱/۲۹

توصیفگرها روش الگوریتم ژنتیک است که بر اساس تکامل سیستم‌های بیولوژیکی است. روش الگوریتم ژنتیک برای پیدا کردن مینیمم های جهانی (Global minima) برای مسأله‌های چند بعدی مانند انتخاب توصیفگر در QSAR/QSPR زمانی که رویه‌ی پاسخ چندین بهینه موضعی (Local optima) دارد بسیار سودمند است (۸). لوکاسیوس (Lucasius) و همکارانش ثابت کردند که روش الگوریتم ژنتیک به طور کلی عملکرد بهتری نسبت به رگرسیون مرحله‌ای و تبرید تدریجی دارد (۹).

از جدیدترین تحقیقات در زمینه مدلسازی فعالیت ضد سرطانی، مطالعات مدلسازی QSAR ارائه شده توسط شایانفر و همکارانش در سال ۲۰۱۳، برای مهارکننده فارنسیل ترانسفراز (Farnesyltransferase) به عنوان دسته‌ای از داروهای ضد سرطان به کمک روش‌های مختلف اشاره کرد (۱۰). در سال ۲۰۱۱، بوهاری و همکارانش مدل‌های QSAR مربوط به ۲۶۶ ترکیب برای ۲۹ سلول سرطانی مختلف با تعداد توصیف گرهای متفاوت بسط دادند (۱۱). در سال ۲۰۱۰، برتوسا و همکارانش تجزیه و تحلیل آماری مدل‌های QSAR، مربوط به فعالیت ضد تومور ۵۹ آمید و کینولین از سری تیوفن را مطالعه کردند (۱۲).

هدف از انجام این پژوهه پیش‌بینی فعالیت ضد سرطانی مشتقات او-۴-دی‌هیدرو-۴-اکسو-۱-(تیازول)-۲-۸-نفتیریدین با استفاده از الگوریتم ژنتیک-رگرسیون خطی چندگانه و رگرسیون خطی چندگانه مرحله‌ای و در نهایت مقایسه عملکرد این دو روش در انتخاب توصیفگرها مولکولی بود.

## مواد و روشها

### دسته داده‌ها

در این مطالعه یک سری صدتایی از مشتقات ۳ و ۷ استخلاف شده از او-۴-دی‌هیدرو-۴-اکسو-۱-(تیازول)-۲-۸-نفتیریدین ها مورد تحقیق قرار گرفتند. این ترکیبات قبل از توسط تومیتا و همکارانش سنتز و آزمایش شدند (۱۳-۱۵). جدول ۱ ساختارهای شیمیایی ترکیبات مورد مطالعه را نشان می‌دهد. از IC<sub>50</sub> ترکیبات در مقابل رده سلولی P380 که مربوط به لوسی موش است در مطالعه استفاده شد. در نهایت، از مقادیر log(1/IC<sub>50</sub>) ترکیبات در جدول ۱، به عنوان متغیر وابسته در این تحقیق استفاده شد.

مهم‌ترین اهداف شیمیدان‌ها و محققان دارویی پیش‌بینی فعالیت ترکیبات، قبل از سنتز و یا انجام آزمایش بر روی آن‌ها است. چرا که انجام بسیاری از آزمایشات مستلزم صرف زمان و هزینه‌های زیادی است. از این‌رو نیاز به استفاده از روش‌های تئوری و محاسباتی که بدون انجام آزمایش بتواند ویژگی و یا فعالیت ترکیبات را پیشگویی کند ضروری به نظر می‌رسد. ظهور علم کمومتری توانسته راه حلی برای رفع این مشکلات باشد (۲-۴).

روابط کمی ساختار - فعالیت (QSAR) برای چندین دهه در توسعه روابط بین خواص فیزیکی ترکیبات شیمیایی و فعالیت بیولوژیکی آنها برای به دست آوردن یک مدل آماری قابل اعتماد برای پیش‌بینی فعالیت ترکیبات جدید استفاده شده است. یکی از مهم‌ترین کاربردهای QSAR استفاده از این روش در پیش‌بینی فعالیت داروها و کمک به طراحی و سنتز ترکیبات دارویی جدید با احتمال تاثیر بالاتر برای درمان بسیاری از بیماری‌های صعب العلاج است. توسعه داروهای ضد سرطان از چهار دهه پیش، با کشف فعالیت ضد سرطانی داروها و استفاده موفقیت آمیزشان در درمان سلول‌های سرطانی گوناگون شروع شده است. از آن پس ترکیبات بی‌شماری سنتز شده و به عنوان نامزدهای بالقوه برای داروهای ضد سرطان استفاده شده‌اند، اما تنها تعداد انگشت شماری از آنها به عنوان داروهای بالینی موثر عمل می‌کنند (۵).

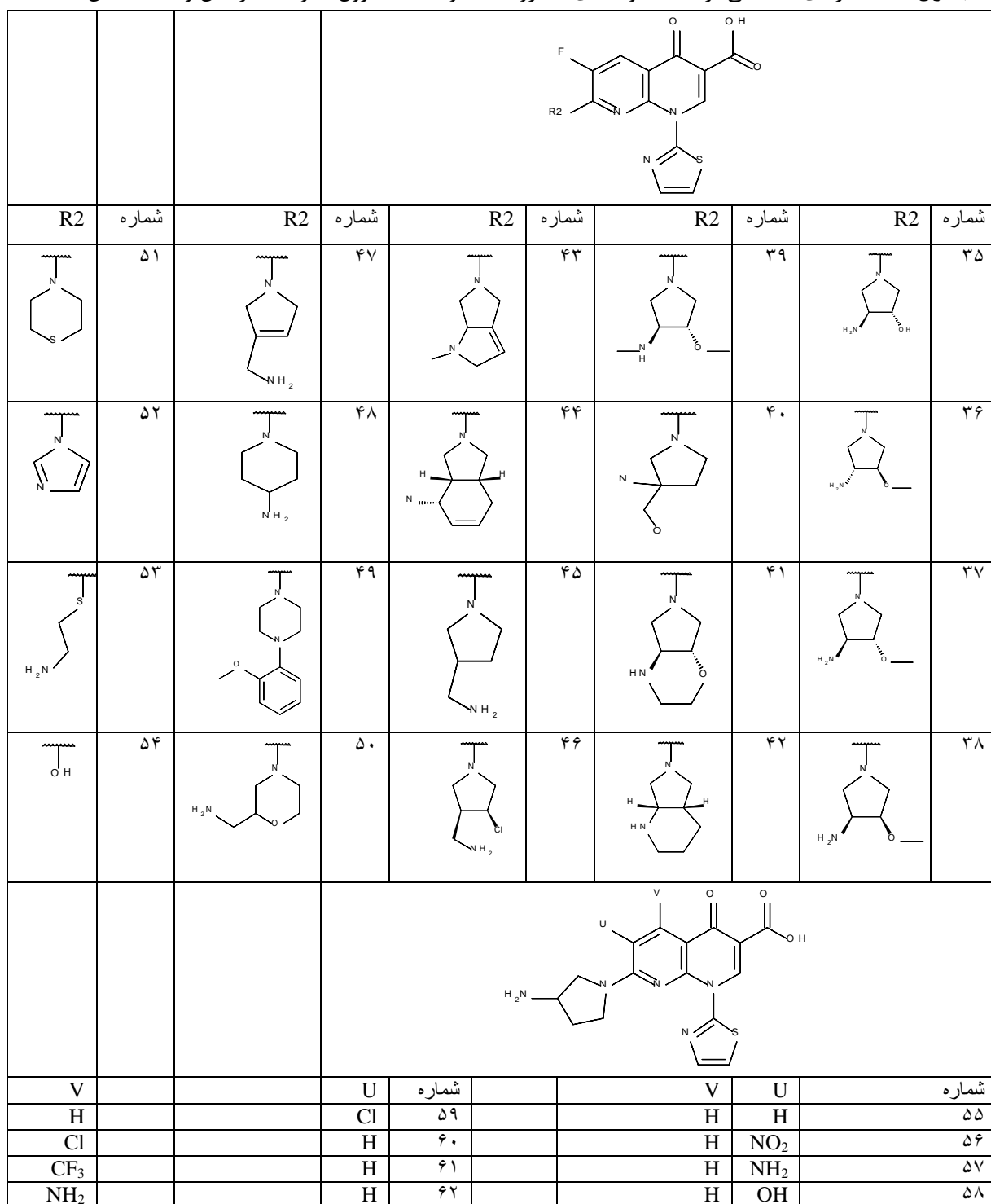
در حال حاضر، هزاران توصیفگر مولکولی برای مطالعات QSAR/QSPR وجود دارد. وارد کردن همه توصیفگرها در مدل‌های QSAR/QSPR می‌تواند منجر به بیش برآذیش (Overfitting)، پیچیدگی مدل و کاهش تفسیرپذیری آن را کاهش می‌یابد. روش‌های انتخاب متغیر می‌توانند با حذف تعدادی از توصیفگرها و انتخاب توصیفگرها مرتبط با ویژگی یا فعالیت بر تعدادی از این ضعفها غلبه کنند. تاکنون چندین روش انتخاب متغیر، از قبیل الگوریتم ژنتیک، رگرسیون مرحله‌ای و شبیه سازی تبرید تدریجی (Simulated annealing) به طور گسترده استفاده شده‌اند. روش‌های بهینه سازی هوش ازدحامی (Swarm intelligence optimizations)، از قبیل بهینه سازی ازدحامی جزیی (Partial swarm optimization)، از جمله روش‌های انتخاب متغیر هستند که معمولاً بر اساس رفتار زیستی حیوان و حشره به منظور پیدا کردن کوتاه‌ترین مسیر بین یک منبع غذا و لانه هایشان شبیه سازی شده‌اند، اخیراً در روش‌های QSAR/QSPR به کار می‌روند (۶، ۷). یکی از بهترین روش‌های جستجو برای پیدا کردن با اهمیت‌ترین

جدول ۱. ساختارهای شیمیایی ترکیبات ۱و۴-دی هیدرو-۴-اکسو-۱و۸-نفتیریدین و مشتقان آن

Z CH	Y N	X N	شماره ۲۰	R1 	شماره ۱۱
N	N	CF	۲۱		
CH	CH	N	۲۲		
CH	CH	CF	۲۳		۲
CH	CF	CF	۲۴		۳
					۴
R2 	شماره ۳۰	R2 	شماره ۲۵		۵
	۳۱		۲۶		۶
	۳۲		۲۷		۷
	۳۳		۲۸		۸
	۳۴		۲۹		۹
					۱۰

مولکولی میدان نیروی آلینجر MM2 و روش کوانتم نیمه تجربی روش آوستین (AM1) با استفاده از الگوریتم پلاک-ریبایر (Polak-Ribier) تا گرادیان ریشه مربع میانگین ۰/۰۱ با استفاده از نرم افزار مپک (MOPAC Version 6.00) بهینه سازی شدند. مولکول‌های بهینه شده به نرم افزار دراگون (Dragon Version 5.4) منتقال داده شد و توصیفگرهای

بهینه سازی مولکولی و محاسبه توصیفگرهای تمامی محاسبات توسط لپ تاپ ۷ هسته‌ای با ویندوز ۷ به عنوان سیستم عامل انجام شد. ابتدا با استفاده از نرم افزار کم درا (ChemDraw Ultra Version 8.0) ساختار مولکول‌ها رسم شد و ساختار هندسی مولکول‌ها از طریق روش مکانیک



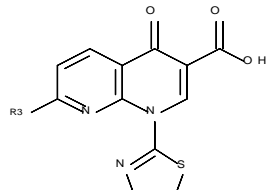
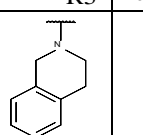
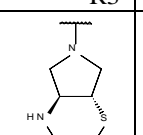
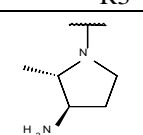
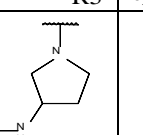
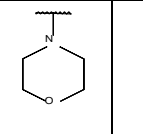
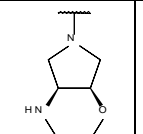
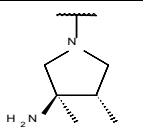
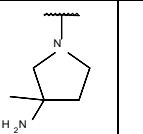
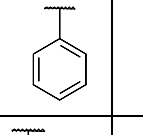
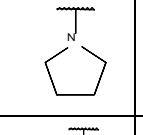
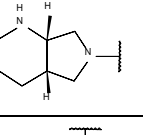
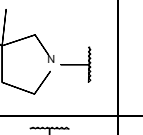
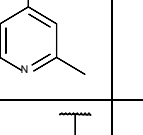
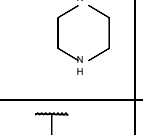
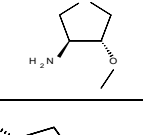
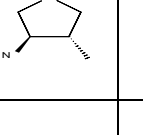
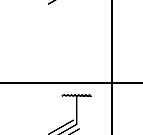
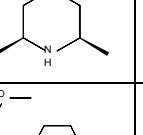
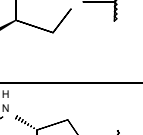
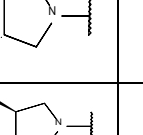
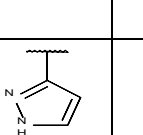
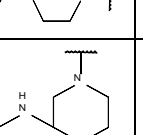
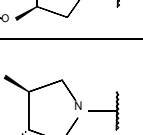
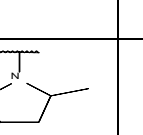
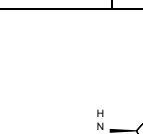
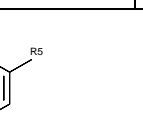
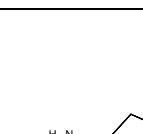
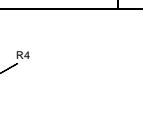
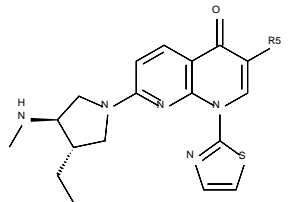
شدن. این توصیفگرهای مولکولی به حدود ۴۶۸ توصیفگر با حذف متغیرهایی که همبستکی کمی با فعالیت دارند، متغیرهای ثابت و توصیفگرهای همسنجه کاهش بیدا کردند.

## شکافت داده‌ها (Data splitting)

در قدم بعدی سری داده‌ها به دو دسته آموزشی و آزمون به صورت تصادفی توسط نرم افزار اکسل ( Microsoft Excel )

مولکولی محاسبه شدند. تمامی توصیفگرهای مولکولی به دست آمده از اطلاعات ساختارهای مولکولی به دست آمدند؛ بنابراین نیازی به داده های آزمایشگاهی برای محاسبه نبود. حدود ۱۲۱۲ توصیفگر مولکولی از قبیل GETAWAY، RDF، WHIM، توصیفگرهای شمارشی گروه عاملی و توصیفگرهای 3D-MoRSE برای مشخص کردن ساختارهای مولکولی مشتق

ادامه جدول ۱. ساختارهای شیمیایی ترکیبات ۱ و ۴-دی هیدرو-۴-اکسو-۱-(۲-تیازول)-۱-نفتیریدین و مشتقات آن

							
R <sub>3</sub>	شماره	R <sub>3</sub>	شماره	R <sub>3</sub>	شماره	R <sub>3</sub>	شماره
	۸۴		۷۷		۷۰		۶۳
	۸۵		۷۸		۷۱		۶۴
	۸۶		۷۹		۷۲		۶۵
	۸۷		۸۰		۷۳		۶۶
	۸۸		۸۱		۷۴		۶۷
	۸۹		۸۲		۷۵		۶۸
	۹۰		۸۳		۷۶		۶۹
							
R <sub>5</sub>	شماره	R <sub>5</sub>	شماره	R <sub>4</sub>	شماره	R <sub>4</sub>	شماره
COCH <sub>3</sub>	۹۹	CHO	۹۷	CONH <sub>2</sub>	۹۵	CH <sub>2</sub> Ph	۹۳
CH <sub>2</sub> CH=CHCOOCH <sub>3</sub>	۱۰۰	CH <sub>2</sub> OH	۹۸	OH	۹۶	CHO	۹۴
						COOEt	۹۱
						H	۹۲

سری آزمون در هیچ یک از مراحل مدل‌سازی شرکت نمی‌کند و در واقع همان‌طور که از نامش پیداست به منظور ارزیابی قدرت پیش‌بینی و اعتبار مدل‌های به دست آمده مورد استفاده قرار می‌گیرد. شایان ذکر است که هر قدر مجموعه داده‌ها بزرگ‌تر و متنوع‌تر باشد مدل حاصل از آن معتبر بوده و قدرت پیش‌بینی آن بالا خواهد بود. در روش انتخاب تصادفی،

(2013) تقسیم می‌شوند. سری آموزشی که حاوی بیشترین تعداد مولکول‌ها است باید نماینده مناسبی از کل مولکول‌ها باشد، چون این دسته از مولکول‌ها برای مدل‌سازی استفاده می‌شوند. مولکول‌های سری آزمون طوری انتخاب می‌شوند که نماینده مولکول‌های موجود در سری آموزش باشند و عموماً ۲۰٪ از کل داده‌ها را به عنوان سری آزمون انتخاب می‌کنند.

## جدول ۲. نتایج اعتبار سنجی مدل ترکیبات تصادفی انتخاب شده برای مجموعه آزمون

GA-MLR						S-MLR						دسته آزمون تصادفی						آزمایه
Q <sup>2</sup> <sub>Test</sub>	Q <sup>2</sup> <sub>Cal</sub>	Q <sup>2</sup> <sub>CV</sub>	Q <sup>2</sup> <sub>Test</sub>	Q <sup>2</sup> <sub>Cal</sub>	Q <sup>2</sup> <sub>CV</sub>													
-۰/۲۳۴۷	-۰/۸۰۸۴	-۰/۷۶۸۹	-۰/۳۲۱۲	-۰/۷۶۱۹	-۰/۷۰۲۵	۳,۱۲,۱۳,۲۰,۲۳,۲۶,۳۲,۳۳,۳۹,۴۶,۴۹,۵۶,۶۳,۶۹,۷۰,۷۶,۷۹,۸۳,۸۶,۸۸											۱	
-۰/۳۹۶۵	-۰/۷۶۱۲	-۰/۷۰۷۹	-۰/۳۰۲۹	-۰/۷۷۱۶	-۰/۷۱۶۵	۷,۸,۱۵,۲۶,۳۱,۳۸,۳۹,۴۱,۴۴,۴۵,۵۱,۵۴,۵۹,۶۱,۶۳,۶۴,۶۵,۶۷,۷۸,۸۹											۲	
-۰/۶۲۷۸	-۰/۷۳۴۲	-۰/۶۸۳۱	-۰/۶۶۴۲	-۰/۷۱۷۸	-۰/۶۶۷۷	۵,۶,۱۲,۱۶,۲۰,۲۳,۳۲,۵۰,۵۶,۶۱,۶۴,۷۲,۷۳,۸۲,۸۵,۸۷,۹۰,۹۱,۹۴,۹۵											۳	
-۰/۵۹۴۲	-۰/۷۴۸۷	-۰/۶۹۲۰	-۰/۵۹۷۱	-۰/۷۲۶۰	-۰/۶۶۰۳	۲,۱۹,۲۷,۳۲,۳۳,۴۱,۴۷,۴۸,۵۳,۵۵,۶۵,۶۶,۶۷,۷۰,۷۸,۸۷,۸۹,۹۰,۹۲,۹۷											۴	
-۰/۵۵۶۵	-۰/۷۳۲۵	-۰/۶۸۱۷	-۰/۲۶۲۵	-۰/۶۹۵۲	-۰/۶۲۲۴	۲,۷,۱۵,۳۰,۳۲,۳۸,۴۴,۴۶,۵۳,۵۶,۶۳,۶۶,۶۹,۷۵,۷۶,۸۰,۸۲,۸۴,۸۹,۹۲											۵	
-۰/۰۲۵۴	-۰/۷۷۲۸	-۰/۷۱۳۷	-۰/۲۸۲۲	-۰/۷۱۱۶	-۰/۶۴۷	۳,۴,۱۳,۱۴,۲۰,۲۱,۲۶,۲۷,۳۷,۴۴,۴۵,۴۹,۵۲,۵۳,۵۴,۶۶,۷۶,۸۸,۸۹,۹۹											۶	
-۰/۱۹۰۹	-۰/۷۸۳۱	-۰/۷۳۰۳	-۰/۰۰۴۵	-۰/۷۳۱۸	-۰/۶۷۵۱	۱۶,۲۱,۲۲,۲۳,۴۱,۴۲,۴۴,۴۶,۵۶,۵۷,۵۹,۶۵,۶۶,۷۲,۷۷,۸۹,۹۱,۹۵,۹۷,۱۰۰											۷	
-۱/۹۳۴۱	-۰/۷۷۱۶	-۰/۷۰۴۲	-۰/۰۷۶۱	-۰/۷۶۲۸	-۰/۷۱۱۳	۲,۶,۱۴,۱۶,۱۷,۲۷,۳۱,۳۲,۳۵,۳۶,۴۲,۴۸,۵۲,۵۵,۵۹,۷۵,۷۹,۸۲,۸۳,۹۵											۸	
-۰/۳۵۸۸	-۰/۷۶۶۳	-۰/۷۱۳۸	-۰/۳۵۸۹	-۰/۷۴۵۹	-۰/۶۹۲۵	۲,۱۱,۲۱,۲۵,۲۶,۳۸,۴۱,۴۴,۵۱,۵۳,۵۷,۶۲,۶۷,۸۱,۸۴,۸۷,۸۸,۹۲,۹۴,۹۵											۹	
-۰/۴۲۷۳	-۰/۷۸۰۲	-۰/۷۲۴۸	-۰/۴۷۱۸	-۰/۷۳۷۸	-۰/۶۶۴۳	۱,۲,۶,۹,۱۰,۱۹,۲۳,۲۵,۳۰,۳۹,۴۱,۴۵,۵۲,۵۴,۵۶,۶۴,۶۶,۷۹,۹۲,۹۸											۱۰	
-۰/۱۹۷۱	-۰/۷۶۲۳	-۰/۷۱۰۵	-۰/۴۷۶۲	-۰/۷۶۱۰	-۰/۷۰۷۹	۲,۱۲,۱۴,۱۶,۱۷,۱۹,۲۰,۲۹,۳۴,۳۸,۳۹,۴۰,۵۸,۶۰,۶۷,۷۶,۸۵,۹۴,۹۶,۹۹											۱۱	
-۰/۴۷۹۰	-۰/۷۰۹۲	-۰/۶۵۱۴	-۰/۵۲۶۰	-۰/۶۶۵۰	-۰/۵۸۰۲	۹,۱۱,۱۷,۲۱,۲۴,۲۶,۳۰,۳۸,۳۹,۴۰,۵۰,۵۲,۵۳,۵۹,۶۱,۶۷,۶۸,۸۱,۹۷,۹۸											۱۲	
-۰/۵۱۳۳	-۰/۷۴۸۹	-۰/۶۸۹۵	-۰/۳۲۸۳	-۰/۶۹۰۷	-۰/۶۱۷۹	۳,۷,۱۲,۱۶,۲۸,۳۰,۳۴,۳۹,۴۴,۴۵,۵۰,۵۳,۶۲,۶۷,۷۸,۸۰,۸۵,۸۸,۹۱,۹۲											۱۳	
-۰/۳۲۹۶	-۰/۷۶۴۱	-۰/۷۱۴۴	-۰/۴۶۱۶	-۰/۷۲۹۷	-۰/۶۶۶۱	۶,۷,۸,۱۱,۱۲,۱۵,۱۶,۲۲,۲۳,۴۱,۴۸,۴۹,۶۰,۶۳,۶۷,۷۰,۷۶,۸۵,۹۳,۹۹											۱۴	
-۰/۶۷۳۴	-۰/۷۱۸۳	-۰/۶۶۵۰	-۰/۴۱۱۰	-۰/۶۸۸۹	-۰/۶۱۰۸	۲,۴,۲۰,۲۷,۳۳,۳۴,۳۵,۳۷,۴۰,۴۷,۵۲,۵۳,۶۶,۶۹,۷۱,۷۷,۸۳,۸۷,۸۹,۹۷											۱۵	
-۰/۳۰۴۸	-۰/۷۵۵۶	-۰/۶۹۵۶	-۰/۵۲۳۹	-۰/۷۴۳۱	-۰/۶۷۵۶	۳,۱۰,۱۸,۲۰,۲۱,۳۱,۴۰,۴۲,۴۹,۵۵,۶۷,۷۲,۷۳,۷۶,۷۹,۸۰,۸۵,۹۰,۹۷,۱۰۰											۱۶	
-۰/۴۶۵۵	-۰/۷۹۴۰	-۰/۷۴۹۶	-۰/۳۷۶۹	-۰/۷۶۲۱	-۰/۶۹۳۶	۳,۱۰,۳۱,۳۴,۳۵,۳۷,۴۴,۴۵,۴۹,۵۵,۶۱,۶۲,۶۴,۷۲,۷۶,۸۴,۸۶,۹۰,۹۳,۹۶											۱۷	
-۰/۴۱۰۹	-۰/۸۰۱۳	-۰/۷۵۳۹	-۰/۳۱۳۷	-۰/۷۹۱۲	-۰/۷۴۴۴	۱,۱۰,۲۰,۲۳,۲۵,۴۱,۵۶,۵۸,۶۰,۶۶,۶۷,۶۸,۷۰,۷۱,۸۴,۸۷,۸۹,۹۶,۹۷,۹۹											۱۸	
-۰/۵۸۲۱	-۰/۷۳۷۸	-۰/۶۹۲۹	-۰/۰۱۴۲	-۰/۷۳۰۹	-۰/۶۶۳۳	۲,۶,۱۸,۱۹,۳۸,۴۳,۴۴,۵۰,۵۱,۵۵,۶۲,۷۰,۷۱,۷۷,۷۴,۷۸,۸۶,۸۹,۹۳,۹۶											۱۹	
-۰/۱۲۱۳	-۰/۸۱۷۶	-۰/۷۶۴۸	-۰/۰۴۴۰	-۰/۸۱۲۹	-۰/۷۶۰۷	۱,۳,۵,۶,۱۰,۱۱,۱۲,۲۱,۳۰,۳۱,۳۲,۳۳,۳۷,۴۰,۴۱,۴۶,۴۷,۹۳,۹۸,۱۰۰											۲۰	

رايج ترين روشهای انتخاب متغير است که به ميزان گسترده‌اي برای مشكلات بهينه سازی پيچيده در زمينه‌های گوناگون از جمله روشهای QSAR/QSPR استفاده می‌شود (۱۶-۲۴). در اينجا از جعبه ابزار الگوريتم ژنتيك موجود در نرم افزار MATLAB 2013a (gatool) برای انتخاب توصيفگرهای مناسب استفاده شده است. همان طور که در بخش گذشته اشاره کرديم متغيرها از ۱۲۱۲ متغير به حدود ۴۶۸ متغير با حذف متغيرهاي که همبستكی کمی با فعالیت دارند، متغيرهاي ثابت و توصيفگرهای همبسته کاهش پیدا کردند. روش الگوريتم ژنتيك به کار گرفته در اين مطالعه از يك نمايش دوتايی به عنوان روش رمزگذاري استفاده می‌کند؛ حضور و يا عدم حضور يك توصيفگر در يك کروموزوم به وسیله ۱ يا ۰. رمزگذاري می‌شود. در الگوريتم ژنتيك بهينه سازی از طريق تغيير و انتخاب و به واسطه ارزيايی تابع شايستگی [۱] انجام می‌شود. تابع شايستگی مورد استفاده در اين مطالعه متوسط ريشه ميانگين مربع خطاي واسنجي و

مولکولها را بر حسب فعالیتشان بصورت صعودي و يا نزولي مرتب می‌کنيم و سپس از بين آنها نسبت های ذكر شده در بالا را طوري انتخاب می‌کنيم که از لحاظ آماري دارای توزيع نرمال باشد. در اين مطالعه ۲۰ بار انتخاب تصادفي انجام شد و دسته آموزش و آزمون به ترتيب شامل ۸۰ و ۲۰ مولکول است. جدول ۲ تمامی ترکیبات انتخاب شده برای دسته آزمون و نتایج مدلسازی آنها را نشان می‌دهد.

## انتخاب متغير توسيط الگوريتم ژنتيك

روش ترکيبي الگوريتم ژنتيك- رگرسيون خطى چندگانه (GA-MLR) يكی از روشهایی است که در اين مطالعه به عنوان روش انتخاب متغير استفاده شده است. الگوريتم ژنتيك يك روش جستجوی قدرتمند براساس تکامل سیستم های بیولوژیکی است. در مطالعات QSAR/QSPR، دستیابی به مدلی با تعداد کمی از توصيفگرهای ساختاري دارای اهمیت است، زيرا این مسأله منجر به ایجاد مدلی ساده و قابل پیشگویی خواهد شد. در حقیقت روش الگوريتم ژنتيك يكی از

جدول ۳. نتایج مدل S-MLR برای مشتقات ۱ و ۴-دی هیدرو-۴-اکسو-۱-۲-تیازول)-۱ و ۸-نفتیریدین برای بهترین دسته تصادفی

<sup>۱</sup> VIF	<sup>۲</sup> b <sub>s</sub>	<sup>۲</sup> S <sub>b</sub>	<sup>۱</sup> b	تعريف	نوع توصیفگر	متغیر
-	-	2/567	13/046	-	-	عرض از مبدا
1/315	0/408	0/096	0/514	تابع توزیع شعاعی- ۲۰- / توزین شده توسط الکترونگاتیویته ساندرسون	RDF	RDF020p
1/334	0/268	0/161	0/564	CH2R2	قطعات اتم محور	C-002
1/185	-0/246	0/416	-1/418	سیگنال ۱۶/ توزین شده توسط جرم	3D-MoRSE	Mor16m
1/116	-0/326	0/983	-4/582	همبستگی R لایه ۴/ توزین شده توسط جرم	GETAWAY	R4m
1/300	-0/274	0/495	-1/797	سیگنال ۲۱/ توزین شده توسط جرم	3D-MoRSE	Mor21m
1/422	0/355	14/679	65/981	دومین جز تقارن جهتی ضربی WHIM / توزین شده توسط الکترونگاتیویته ساندرسون	WHIM	G2e
1/437	۰/۲۳۰	0/235	۰/۶۸۰	تعداد آمین های نوع سوم (آلیفاتیک)	شمارش های گروه عاملی	nRNR2
1/149	0/182	0/406	1/040	سیگنال ۲۲/ توزین شده توسط جرم	3D-MoRSE	Mor22m

<sup>a</sup> ضریب رگرسیونی غیراستاندارد توصیفگرها؛ <sup>b</sup> خطای استاندارد رگرسیونی استاندارد شده؛ <sup>c</sup> VIF فاکتور تورم واریانس برای سنجش همبستگی خطی چندگانه بین توصیف گرها در مدل مورد نظر

جدول ۴. نتایج مدل GA-MLR برای مشتقات ۱ و ۴-دی هیدرو-۴-اکسو-۱-۲-تیازولیل)-۱ و ۸-نفتیریدین برای بهترین دسته تصادفی

<sup>۱</sup> VIF	<sup>۲</sup> b <sub>s</sub>	<sup>۲</sup> S <sub>b</sub>	<sup>۱</sup> b	تعريف	نوع توصیفگر	متغیر
-	-	8/325	25/437	-	-	عرض از مبدا
1/562	-0/555	0/016	-0/111	تابع توزیع شعاعی- ۵۵- / توزین شده توسط الکترونگاتیویته ساندرسون	RDF	RDF055e
1/144	0/187	0/200	0/556	تعداد آمین های نوع سوم (آلیفاتیک)	شمارش های گروه عاملی	nRNR2
1/389	-0/400	0/144	-0/777	سیگنال ۳/ توزین شده توسط قطبش پذیری	3D-MoRSE	Mor03p
1/713	0/383	0/094	0/439	تعداد C(sp <sub>3</sub> ) نوع اول انتهایی	شمارش های گروه عاملی	nCp
1/223	0/240	0/243	0/84+	تعداد سولفیدها	شمارش های گروه عاملی	nRSR
1/247	0/212	0/096	0/289	سیگنال ۷/ توزین شده توسط الکترونگاتیویته ساندرسون	3D-MoRSE	Mor07e
1/035	0/164	8/322	21/324	مقدار اطلاعات استاندارد شده روی اهرم برابری	GETAWAY	ISH
1/337	-0/251	0/479	-1/654	سیگنال ۱۶/ توزین شده توسط قطبش پذیری	3D-MoRSE	Mor16p

<sup>a</sup> ضریب رگرسیونی غیراستاندارد توصیفگرها؛ <sup>b</sup> خطای استاندارد رگرسیونی استاندارد شده؛ <sup>c</sup> VIF فاکتور تورم واریانس برای سنجش همبستگی خطی چندگانه بین توصیف گرها در مدل مورد نظر

پارامتر در یک معادله واحد، معادله QSAR را محاسبه می کند (۲۵، ۲۶). به منظور انجام محاسبات در روش S-MLR نرم افزار IBM SPSS مورد استفاده قرار گرفت. مجموعه داده ها به مجموعه های کاهش یافته ترکیبات ضد سرطان به مجموعه آموزش و آزمون، در مرحله نخست، باید مجموعه آزمون از کل داده ها حذف گردیده و سپس محاسبات با استفاده از روش رگرسیونی خطی گام به گام انجام شوند. پس از بررسی، مدل های دارای چهار، پنج، شش و ... بهترین مدل خطی چندمتغیره دارای ۸ توصیفگر بود.

در نهایت باید اعتبار مدل از لحاظ آماری مورد ارزیابی قرار گیرد و مدل مناسب انتخاب شود. پارامتر آماری Q2 برای ارزیابی مدل حاصل از اعتبار سنجی همگذری به کار می رود و

اعتبارسنجی متقطع، RMSEC+RMSECV/۲، است. اندازه جمعیت در این بررسی ۷۰۰۰ بود و سایر گرینه ها از جمله هم گذری، جهش و مهاجرت، مطابق با پیش فرض بخش MATLAB 2012 مربوط به الگوریتم ژنتیک در نرم افزار است. پس از ارزیابی مدل های متفاوت مشاهده می شود که بهترین مدل خطی چندمتغیره ای دارای هشت توصیفگر است. انتخاب متغیر توسط رگرسیون خطی چندگانه گام به گام

رگرسیون خطی چندگانه (MLR) روش گسترش یافته رگرسیون کلاسیک است که بیش از یک بعد را در محاسبات در نظر می گیرد. روش MLR به واسطه انجام محاسبات رگرسیونی چند متغیره استاندارد و از طریق استفاده از چندین

## پیش بینی فعالیت ضدسرطانی مشتقات ۱و۸-نفتیریدین

جدول ۵. ماتریس ضریب همبستگی برای توصیف کننده ها و ثابت Log(1/IC<sub>50</sub>) ترکیبات ۱و۴-دی هیدرو-۴-اکسو-۱-(تیازول)-۱و۸-نفتیریدین و مشتقات آن با اثر ضد سرطان در مدل S-MLR

Mor22m	nNR2	G2e	Mor21m	R4m	Mor16m	C-002	RDF020p	Log(1/IC <sub>50</sub> )	۱	Log(1/IC <sub>50</sub> )
									۱	۰/۴۹۲
									-۰/۱۲۸	۰/۳۰۷
									-۰/۲۴۷	-۰/۴۲۴
									-۰/۰۶۵	Mor16m
									-۰/۰۰۵	R4m
									-۰/۳۱۱	Mor21m
									-۰/۱۱۸	G2e
									-۰/۰۳۱۶	nNR2
									-۰/۰۰۸۷	Mor22m
									-۰/۰۰۸۶	
									-۰/۰۰۰	
									-۰/۰۰۲۴	
									-۰/۰۰۵۵	
									-۰/۰۳۳۲	
									-۰/۰۳۶۱	

جدول ۶. ماتریس ضریب همبستگی برای توصیف کننده ها و ثابت Log(1/IC<sub>50</sub>) ترکیبات ۱و۴-دی هیدرو-۴-اکسو-۱-(تیازول)-۱و۸-نفتیریدین و مشتقات آن با اثر ضد سرطان در مدل GA-MLR

Mor16p	ISH	Mor07e	nRSR	nCp	Mor03p	nNR2	RDF055e	Log(1/IC <sub>50</sub> )	۱	Log(1/IC <sub>50</sub> )
									-۰/۰۷۸	RDF055e
									-۰/۰۲۱۴	nNR2
									-۰/۰۲۲۳	Mor03p
									-۰/۰۳۴	nCp
									-۰/۰۹۸	nRSR
									-۰/۰۷۸	Mor07e
									-۰/۰۴۱۹	ISH
									-۰/۰۴۳۳	Mor16p
									-۰/۰۲۲۳	
									-۰/۰۳۲۳	
									-۰/۰۱۷۲	
									-۰/۰۳۴۶	
									-۰/۰۲۸۱	
									-۰/۰۱۲۷	
									-۰/۰۱۷۷	
									-۰/۰۴۵۸	

نیست. مدل QSAR توسط دسته واسنجی ترکیبات شیمیایی به تنهایی ایجاد شده سپس برای اعتبار سنجی بروندی دسته ترکیبات شیمیایی و تحقیق اعتبار سنجی بیشتر قدرت پیشگویی مدل، به کار گرفته می شود. سرانجام مدل با استفاده از دسته اعتبار سنجی بروندی (دسته آزمون) اعتبار سنجی می شود و نتایج اعتبار سنجی مدل در جدول ۲ نشان داده شده است.

فرمول برای محاسبه  $Q^2_{ext}$  به صورت زیر است:

$$(2)$$

$$Q^2_{ext} = 1 - \frac{\sum_{i=1}^{test} (y_i - \hat{y}_i)^2}{\sum_{i=1}^{test} (y_i - \bar{y}_{test})^2}$$

که  $\hat{y}_i$  و  $y_i$  به ترتیب مقادیر پیشگویی و اندازه گیری فعالیت ترکیب هستند، و  $\bar{y}_{test}$  مقدار میانگین فعالیت برای دسته آزمون است؛ جمع تمام ترکیبات دسته  $i$  آزمون را پوشش می دهد.

مقدار  $Q^2$  آزمون خوبی برای داده هایی است که به طور یکنواخت توزیع شده اند. در این بخش با نگاهی گذرا بر پارامترهای آماری خواهیم پرداخت. اعتبار سنجی همگذری LOO-CV: Leave One Out –Cross Validation (یکی از اعتبار سنجی های داخلی مدل QSAR با استفاده از روش LOO- CV تعیین می شود. واریانس اعتبار سنجی همگذری  $Q^2_{CV}$  توسط معادله زیر محاسبه می شود.

$$(1)$$

$$Q^2_{CV} = 1 - \frac{\sum_{i=1}^{Cal} (y_i - \hat{y}_i)^2}{\sum_{i=1}^{Cal} (y_i - \bar{y})^2}$$

$y_i$ ،  $\hat{y}_i$  و  $\bar{y}$  به ترتیب مقادیر اندازه گیری، پیشگویی و میانگین (کل داده های کالیبراسیون) متغیر وابسته هستند؛ عمل جمع تمام ترکیبات در دسته واسنجی را در بر می گیرد. روش LOO-CV برای تعیین استحکام و قدرت پیشگویی کافی

جدول ۷. مقادیر توصیفگرهای مولکولی، مقادیر  $\log(1/\text{IC}_{50})$  آزمایشی و پیشگویی شده توسط مدل GA-MLR

دسته	$\log(1/\text{IC}_{50})_{\text{Prd}}$	$\log(1/\text{IC}_{50})_{\text{EXP}}$	Mor16p	ISH	Mor07e	nRSR	nCp	Mor03p	nNR2	RDF055e	شماره
واستنجی	-1/۳۵۰۰	-0/۱۳۹	-0/۰۱۸	۱	۳/۵۱۸	.	.	-۳/۴۱۸	۲	۱۸/۴۸۰	۱
آزمون	-0/۷۱۸۰	-0/۷۳۵۲	-0/۱۲۹	۱	۳/۹۵۴	.	.	-۳/۲۶۵	۲	۱۴/۵۰۴	۲
واستنجی	-0/۷۱۸۰	-1/۴۳۲۶	-0/۱۲۹	۱	۳/۹۵۴	.	.	-۳/۲۶۵	۲	۱۴/۵۰۴	۳
آزمون	-1/۸۱۰۱	-1/۳۷۶۱	-0/۱۸۸	0/۹۸۲	۳/۵۵۷	.	.	-۲/۸۳۰	۲	۱۷/۶۸۶	۴
واستنجی	0/۲۸۵۳	-0/۰۵۹	-0/۰۴۹	۱	۲/۹۰۵	۱	.	-۳/۶۱۹	۲	۱۱/۵۸۸	۵
واستنجی	-1/۱۹۳۲	-1/۴۱۷۷	-0/۲۳۳	0/۹۸۴	۳/۲۰۹	.	.	-۳/۰۱۳	۲	۱۳/۸۱۸	۶
واستنجی	-0/۴۴۲۵	-0/۱۹۱۳	-0/۲۶۷	۱	۲/۹۱۲	.	۱	-۳/۰۹۷	۲	۱۴/۱۴۵	۷
واستنجی	-0/۷۱۲۱	-1/۱۶۴۸	-0/۱۵۲	0/۹۸۴	۳/۱۳۴	.	.	-۳/۴۸۱	۲	۱۱/۰۹۷	۸
واستنجی	-1/۷۱۴۵	-1/۴۲۹۰	-0/۰۲۳	۱	۳/۵۰۱	.	۱	-۲/۵۲۴	۲	۱۹/۴۹۱	۹
واستنجی	0/۵۶۷۹	-1/۰۹۶	-0/۱۸۲	۱	۲/۰۶۱	۱	.	-۳/۶۴۴	۲	۱۱/۰۵	۱۰
واستنجی	0/۹۵۱۹	0/۸۸۲۷	-0/۲۵۴	۱	۲/۸۶۰	۱	۱	-۳/۴۲۴	۲	۱۱/۱۱۰	۱۱
واستنجی	0/۷۶۹۵	0/۱۷۵۴	-0/۰۲۰	۱	۲/۵۸۸	۱	۱	-۳/۳۵۴	۲	۱۰/۸۲۵	۱۲
واستنجی	0/۲۰۸۱	0/۳۵۰۵	-0/۰۰۳۴	۱	۳/۱۰۸	۱	۲	-۳/۰۳۶	۲	۱۶/۴۱۷	۱۳
واستنجی	-0/۲۴۵۵	-0/۰۳۹۵	-0/۴۳۲	0/۹۸۶	۲/۱۰۹	۱	۳	-۴/۰۴۵	۲	۳۲/۱۶۲	۱۴
واستنجی	0/۵۸۲۷	0/۹۳۸۵	-0/۱۹۴	۱	۴/۲۳۷	۱	.	-۴/۱۱۷	۲	۱۸/۰۲۳	۱۵
واستنجی	0/۲۴۸۳	0/۶۳۹۴	-0/۱۷۴	۱	۲/۴۳۱	۱	.	-۳/۴۵۶	۲	۱۱/۴۰۹	۱۶
واستنجی	0/۳۸۳۰	0/۷۲۷۹	-0/۱۶۵	۱	۲/۵۶۶	۱	.	-۳/۴۶۵	۲	۱۰/۴۷۶	۱۷
واستنجی	0/۰۱۷۸	0/۰۶۳۸	-0/۱۶۷	۱	۳/۵۱۵	۱	۱	-۳/۳۵۱	۲	۱۹/۴۲۳	۱۸
واستنجی	0/۶۳۵۸	0/۹۳۸۵	-0/۳۲۵	۱	۴/۷۲۹	۱	.	-۳/۹۷۳	۲	۱۹/۷۷۰	۱۹
آزمون	0/۴۳۸۴	0/۸۸۲۴	-0/۰۱۸	۱	۳/۲۴۱	۱	.	-۳/۵۹۲	۲	۱۰/۶۹۳	۲۰
واستنجی	-1/۰۷۳۹	-1/۴۲۴۴	-0/۱۱۳	۱	۳/۳۱۱	۱	.	-۳/۴۴۷	۱	۱۹/۶۳۱	۲۱
واستنجی	0/۱۸۴۵	-0/۴۶۹	-0/۱۳۸	۱	۲/۹۸۳	۱	.	-۳/۵۹۰	۲	۱۳/۸۲۲	۲۲
واستنجی	-0/۸۵۲۲	-1/۴۲۶۷	-0/۲۶۲	۱	۲/۵۳۸	۱	.	-۲/۵۴۹	۲	۱۶/۵۶۴	۲۳
واستنجی	-1/۶۴۱۷	-2/۱۴۶۷	-0/۰۳۰	0/۹۸۴	۲/۲۱۷	۱	.	-۲/۵۲۰	۲	۲۰/۲۵۰	۲۴
واستنجی	-1/۵۳۵۲	-1/۴۵۶۸	-0/۰۲۴	۱	۱/۳۹۷	۱	.	-۲/۹۷۴	۱	۱۴/۱۶۶	۲۵
واستنجی	-0/۱۱۹۸	1/۰۱۹۱	-0/۱۹۳	۱	۳/۱۳۸	۱	.	-۲/۹۰۲	۲	۱۲/۹۷۱	۲۶
آزمون	0/۶۲۶۶	0/۷۶۲۷	-0/۰۲۵	۱	۳/۰۴۳	۱	.	-۳/۹۰۹	۲	۱۳/۹۵۷	۲۷
واستنجی	1/۰۳۶۱	1/۲۷۴۹	-0/۰۳۷۲	۱	۳/۰۲۸	۱	.	-۴/۰۰۱	۲	۱۲/۶۳۱	۲۸
واستنجی	0/۶۷۷۸	1/۳۷۰۶	-0/۰۳۱۶	۱	۲/۸۹۸	۱	.	-۴/۰۰۲	۲	۱۴/۶۹۳	۲۹
واستنجی	0/۶۲۷۱	1/۱۲۷۳	-0/۰۹۵	۱	۲/۹۸۶	۱	.	-۳/۹۲۵	۲	۱۴/۵۲۷	۳۰
واستنجی	1/۱۱۹۴	0/۸۴۹۹	-0/۰۲۰۱	۱	۳/۱۴۳	۱	۲	-۳/۰۵۹	۳	۱۵/۹۵۷	۳۱
واستنجی	1/۱۹۵۵	1/۱۷۵۲	-0/۱۸۶	۱	۲/۹۷۱	۱	۱	-۴/۰۰۰	۲	۱۳/۶۲۳	۳۲
آزمون	1/۰۸۴۴	1/۵۴۹۸	-0/۰۳۲۳	۱	۲/۸۲۶	۱	۱	-۴/۰۵۵	۲	۱۵/۲۷۳	۳۳
آزمون	1/۲۰۸۹	0/۸۳۴۵	-0/۰۲۸۲	۱	۲/۵۹۹	۱	۱	-۳/۹۲۶	۲	۱۲/۰۴۶	۳۴

برای هر توصیف کننده در مدل از ۰/۹ تجاوز نمی‌کند.  
(۲۷,۲۸)

### یافته‌ها

#### مدلسازی GA-MLR و S-MLR

بعد از شکافت داده‌ها به دو دسته واستنجی و آزمون، به منظور انتخاب متغیرهای مهم برای توصیف فعالیت ترکیبات

به علاوه، آنالیز فاکتور تورم واریانس (VIF) انجام می‌شود تا بینیم آیا هم بستگی خطی چند گانه بین توصیف کننده‌ها در مدل وجود دارد. مقدار VIF از رابطه  $1/1-r^2$  محاسبه می‌شود، که  $r^2$  ضریب هم بستگی چند گانه یک توصیف گر بر روی بقیه توصیف کننده های مولکولی است. اگر مدل‌ها دارای توصیف کننده های مولکولی با مقدار VIF بزرگتر از ۱۰ باشند پذیرفته نخواهند شد و تضمین می‌کند که مربع ضریب هم بستگی چند گانه

ادامه جدول ۷. مقادیر توصیفگرهای مولکولی، مقادیر  $\log(1/\text{IC}_{50})$  آزمایشی و پیشگویی شده توسط مدل GA-MLR

دسته	$\log(1/\text{IC}_{50})_{\text{Prd}}$	$\log(1/\text{IC}_{50})_{\text{EXP}}$	Mor16p	ISH	Mor07e	nRSR	nCp	Mor03p	nNR2	RDF055e	شماره
آزمون	-۰/۴۹۰۷	-۰/۷۲۷۵	-۰/۲۴۲	۰/۹۸۴	۲/۲۱۹	۱	۰	-۴/۱۰۵	۲	۱۲/۷۵۹	۳۵
واسنجی	-۰/۹۹۷۷	-۰/۷۷۵۵	-۰/۴۷۰	۱	۳/۴۳۰	۱	۱	-۳/۴۴۴	۲	۱۵/۵۴۰	۳۶
آزمون	-۰/۷۹۶۸	۱/۲۴۶۴	-۰/۳۱۳	۱	۳/۳۷۴	۱	۱	-۳/۹۶۵	۲	۱۸/۵۱۲	۳۷
واسنجی	-۰/۸۱۰۶	-۰/۶۸۳۶	-۰/۴۳۱	۱	۳/۲۵۶	۱	۱	-۳/۴۱۰	۲	۱۵/۹۵۳	۳۸
واسنجی	۱/۲۰۶۹	۱/۳۶۷۵	-۰/۴۶۱	-۰/۹۸۶	۳/۶۰۶	۱	۲	-۴/۰۷۴	۲	۱۹/۶۵۵	۳۹
آزمون	-۰/۷۵۹۳	-۰/۶۸۳۶	-۰/۱۳۸	۱	۳/۰۰۹	۱	۰	-۴/۲۴۶	۲	۱۴/۰۰۴	۴۰
واسنجی	-۰/۵۳۱۴	-۰/۳۷۹۴	-۰/۲۹۹	۱	۲/۳۷۵	۱	۰	-۴/۶۵۰	۲	۱۸/۹۳۳	۴۱
واسنجی	-۰/۱۶۴۵	-۰/۱۳۵۶	-۰/۲۲۸	-۰/۹۸۶	۲/۲۲۳	۱	۰	-۴/۲۶۶	۲	۱۸/۵۳۲	۴۲
واسنجی	۱/۰۶۶۱	۱/۰۳۶۷	-۰/۳۵۹	-۰/۹۸۶	۳/۶۲۴	۱	۱	-۳/۵۳۳	۳	۱۶/۷۱۷	۴۳
واسنجی	-۰/۵۸۶۰	-۰/۴۵۴۸	-۰/۱۸۳	۱	۳/۸۰۳	۱	۰	-۴/۵۹۲	۲	۲۰/۰۲۵	۴۴
واسنجی	-۰/۱۱۳۲	-۰/۵۸۶۰	-۰/۲۵۶	-۰/۹۶۹	۲/۵۰۰	۱	۰	-۳/۹۸۰	۲	۱۱/۷۴۰	۴۵
واسنجی	-۰/۵۱۵۴	-۰/۴۳۴۰	-۰/۲۶۰	۱	۱/۵۰۶	۱	۰	-۴/۱۸۹	۲	۱۳/۰۰۷	۴۶
آزمون	-۰/۲۰۶۵	-۰/۶۶۳۹	-۰/۱۴۰	-۰/۹۸۴	۲/۰۰۲	۱	۰	-۳/۷۵۲	۲	۱۲/۸۸۱	۴۷
واسنجی	-۰/۷۲۲۲	-۰/۶۲۱۸	-۰/۰۵۶	۱	۲/۰۱۹	۱	۰	-۳/۸۹۲	۲	۲۰/۳۷۳	۴۸
واسنجی	-۰/۴۰۳۴	-۰/۳۱۷۴	-۰/۱۱۶	-۰/۹۸۸	۲/۹۳۷	۱	۱	-۴/۴۲۸	۲	۲۸/۷۹۰	۴۹
واسنجی	-۰/۶۷۵۳	-۰/۶۳۰۲	-۰/۱۰۵	-۰/۹۸۵	۱/۵۴۰	۱	۰	-۳/۸۲۲	۲	۱۶/۸۰۷	۵۰
واسنجی	-۰/۲۲۴۹	-۰/۶۴۶۸	-۰/۰۷۴	۱	۲/۶۷۱	۱	۰	-۴/۰۴۴	۲	۱۸/۹۲۳	۵۱
واسنجی	-۰/۰۹۱۳	-۱/۴۴۶۹	-۰/۲۹۷	۱	۳/۲۸۳	۱	۰	-۳/۱۵۰	۲	۱۴/۷۳۲	۵۲
واسنجی	-۱/۷۳۶۸	-۱/۴۳۶۱	-۰/۱۰۵	-۰/۹۸۲	۲/۴۸۶	۱	۰	-۳/۷۴۱	۱	۲۲/۶۸۱	۵۳
آزمون	-۱/۸۳۴۰	-۱/۵۱۲۵	-۰/۰۰۸	۱	۲/۴۳۸	۰	۰	-۲/۸۳۷	۱	۱۰/۶۲۱	۵۴
آزمون	-۰/۷۵۰۱	۱/۵۵۲۸	-۰/۱۴۷	۱	۲/۳۳۱	۱	۰	-۳/۷۳۳	۲	۱۰/۷۶۸	۵۵
واسنجی	-۰/۹۴۹۴	-۰/۷۵۵۲	-۰/۰۵۰۴	-۰/۹۸۵	۲/۶۴۹	۱	۰	-۳/۲۶۵	۲	۲۴/۱۶۵	۵۶
واسنجی	-۰/۴۲۰۳	-۰/۴۳۳۲	-۰/۱۵۴	-۰/۹۸۴	۲/۱۶۴	۱	۰	-۴/۰۰۲	۲	۱۲/۲۱۸	۵۷
واسنجی	-۰/۴۲۵۰	-۱/۰۶۲۳	-۰/۱۲۸	۱	۳/۲۲۷	۱	۰	-۳/۶۸۸	۲	۱۳/۰۸۸	۵۸
واسنجی	-۰/۱۳۹۰	-۰/۲۳۷۱	-۰/۳۴۶	۱	۲/۱۰۲	۱	۰	-۳/۵۲۷	۲	۱۴/۵۹۷	۵۹
واسنجی	-۰/۸۶۶۹	-۰/۹۰۲۷	-۰/۲۶۹	۱	۳/۳۴۶	۱	۰	-۴/۲۶۱	۲	۱۵/۲۶۹	۶۰
واسنجی	-۰/۷۷۰۶	-۰/۶۳۷۵	-۰/۲۰۵	۱	۳/۵۵۵	۱	۰	-۴/۳۰۲	۲	۱۶/۰۱۴	۶۱
واسنجی	-۰/۵۷۹۸	۱/۶۶۱۵	-۰/۱۸۴	۱	۲/۲۴۹	۱	۰	-۴/۰۳۶	۲	۱۴/۷۶۱	۶۲
واسنجی	۱/۰۰۳۳	۱/۵۷۰۲	-۰/۱۷۷	۱	۳/۲۳۷	۱	۱	-۳/۷۷۳	۲	۱۳/۱۸۴	۶۳
واسنجی	۱/۲۳۰۲	۱/۲۹۰۷	-۰/۰۲۸	۱	۳/۳۸۶	۱	۱	-۴/۲۳۷	۲	۱۲/۲۹۶	۶۴
واسنجی	۱/۲۱۵۳	۱/۳۳۰۷	-۰/۱۶۹	۱	۲/۹۳۱	۱	۲	-۴/۱۰۲	۲	۱۶/۳۵۶	۶۵
آزمون	-۰/۵۵۸۸	۱/۵۸۸۴	-۰/۱۴۳	۱	۳/۲۲۴	۱	۱	-۴/۰۰۰	۲	۱۸/۰۰۳	۶۶
واسنجی	۱/۳۲۹۵	۱/۵۰۷۲	-۰/۳۶۷	۱	۱/۱۹۵	۱	۲	-۳/۸۴۳	۲	۱۸/۰۵۰	۶۷
واسنجی	-۰/۶۸۸۹	۱/۲۲۸۴	-۰/۰۹۵	۱	۲/۹۳۳	۱	۰	-۴/۵۳۳	۲	۱۵/۱۰۸	۶۸

صحت بهترین مدل نخواهد داشت. همان طور که جدول ۲ نشان می‌دهد، در این تحقیق برای روش GA-MLR و GA-MLR مدل‌های ۸ توصیفگر دارای مجدد همبستگی اعتبار-سنجی خارجی بین ۰/۶۷۳۴-۱/۹۳۴۱ است. برای روش S-MLR بین ۰/۷۶۱۰-۰/۶۶۴۲ این دسته از ترکیبات ضدسرطان در مدل‌های به  $\log(1/\text{IC}_{50})$  این دسته از روشنایی GA-MLR برای دسته

ضدسرطانی، روشهای S-MLR و GA-MLR بر روی دسته واسنجی اعمال شد. برای دستیابی به بهترین مدل‌های QSAR، ابتدا بهترین مدل‌های دارای یک، دو، سه، چهار تا ده متغیره ساخته شدند و از بین این مدل‌ها، مدل هشت متغیره به عنوان بهترین مدل از نظر شاخص‌های آماری برای هر دو روش برگزیده شد. باید توجه داشت که انتخاب مدل‌های با تعداد بالای توصیفگرها ضروری نیست، زیرا افزایش در تعداد توصیفگرهای مولکولی هیچ گونه اثر معناداری بر دقت و

ادامه جدول ۷. مقادیر توصیفگرهای مولکولی، مقادیر  $\log(1/\text{IC}_{50})$  آزمایشی و پیشگویی شده توسط مدل GA-MLR

دسته	$\log(1/\text{IC}_{50})_{\text{Prd}}$	$\log(1/\text{IC}_{50})_{\text{EXP}}$	Mor16p	ISH	Mor07e	nRSR	nCp	Mor03p	nNR2	RDF055e	شماره
آزمون	-0.5480	-0.5284	-0.4008	-0.984	2/777	1	1	-4/103	2	12/546	69
واستجی	-0.7536	-0.5967	-0.172	-0.984	3/079	1	1	-3/790	2	11/723	70
آزمون	1/5017	1/2848	-0/246	1	2/706	1	2	-4/085	2	14/219	71
واستجی	-0.8194	1/3686	-0/270	1	3/725	1	0	-4/203	2	16/292	72
واستجی	-0.6584	1/3325	-0/157	1	3/414	1	1	-3/663	2	15/424	73
واستجی	1/3454	1/7282	-0/525	-0.985	3/936	1	2	-3/193	2	13/861	74
واستجی	2/0741	1/2815	-0/605	1	3/761	1	2	-3/384	2	12/251	75
واستجی	1/6345	1/2204	-0/610	1	3/825	1	2	-3/683	2	18/546	76
آزمون	1/6003	1/3197	-0/421	-0.97	2/482	2	2	-3/915	2	15/969	77
واستجی	-0.6091	1/3028	-0/398	-0.97	3/758	1	2	-3/151	2	14/963	78
واستجی	-0.5885	0/7149	-0/132	1	3/151	1	0	-3/487	2	9/810	79
واستجی	-0.155	0/7972	-0/161	1	1/648	1	0	-3/609	2	12/345	80
واستجی	-0.9235	-0/6776	-0/302	1	1/655	1	2	-3/961	2	16/858	81
واستجی	-0/3591	-0/3340	-0/140	1	3/406	1	1	-3/426	3	22/494	82
آزمون	-0/2619	-0/1300	-0/092	-0.984	2/110	1	1	-3/806	2	17/279	83
واستجی	-0/9119	-1/3931	-0/057	-0.986	2/967	1	0	-3/922	2	20/387	84
واستجی	-0/1379	-0/4752	-0/188	1	1/869	1	0	-3/356	2	12/933	85
واستجی	-0/9139	-1/2581	-0/148	-0.983	3/440	1	0	-3/487	1	11/650	86
آزمون	-0/6505	-1/2872	-0/074	-0.969	2/856	1	2	-3/666	1	15/333	87
واستجی	-1/0705	-0/5239	-0/050	1	2/794	1	0	-2/168	1	8/362	88
آزمون	-1/2615	-0/8886	-0/147	1	1/492	1	0	-2/351	1	9/419	89
واستجی	-0/5892	-1/1069	-0/125	1	2/846	1	0	-3/006	1	11/145	90
واستجی	-0/2693	-0/4722	-0/111	1	3/584	1	1	-3/357	2	19/525	91
واستجی	-0/2825	-0/2773	-0/303	-0.981	2/685	1	0	-3/304	2	8/970	92
واستجی	-0/2257	-0/7688	-0/235	-0.986	4/588	1	0	-4/433	2	17/782	93
واستجی	-0/4848	1/2291	-0/266	1	2/701	1	0	-3/546	2	11/982	94
واستجی	-0/4397	-0/1436	-0/166	1	3/299	1	0	-3/377	2	11/222	95
واستجی	-0/2017	-0/3155	-0/349	1	2/526	1	0	-3/450	2	10/137	96
آزمون	-0/8340	1/0958	-0/374	1	3/845	1	2	-3/709	2	22/475	97
واستجی	-0/7906	-0/8471	-0/414	-0.985	3/626	1	2	-4/111	2	22/824	98
واستجی	1/1699	-0/8286	-0/459	1	4/068	1	3	-3/459	2	23/501	99
واستجی	-0/6163	-0/8821	-0/287	1	5/448	1	3	-4/483	2	36/686	100

۴

$$\begin{aligned} \text{Log}\left(\frac{1}{\text{IC}_{50}}\right) &= 25.437 (\pm 8.325) - 0.111 (\pm 0.016) \text{RDF055e} + 0.556 (\pm 0.200) \text{nNR2} \\ &\quad - 0.777 (\pm 0.144) \text{Mor03p} + 0.439 (\pm 0.094) \text{nCp} + 0.840 (\pm 0.243) \text{nRSR} \\ &\quad + 0.289 (\pm 0.096) \text{Mor07e} + 21.324 (\pm 8.322) \text{ISH} - 1.654 (\pm 0.479) \text{Mor16p} \end{aligned}$$

$$Q^2_{\text{CV}} = 0.6650; Q^2_{\text{Cal}} = 0.7183; Q^2_{\text{Test}} = 0.6734 \quad (4)$$

تصادفی ۱۵ (به عنوان بهترین دسته تصادفی) به صورت زیر است.

برای روش S-MLR معادله حاصل به صورت زیر است:

$$\begin{aligned} \text{Log}\left(\frac{1}{\text{IC}_{50}}\right) &= 13.046 (\pm 2.567) + 0.514 (\pm 0.096) \text{RDF020p} + 0.564 (\pm 0.161) \text{C} - 0.02 \\ &\quad - 1.418 (\pm 0.416) \text{Mor16m} - 4.582 (\pm 0.983) \text{R4m} \\ &\quad - 1.797 (\pm 0.495) \text{Mor21m} + 65.981 (\pm 14.679) \text{G2e} \\ &\quad + 0.680 (\pm 0.235) \text{nNR2} + 1.040 (\pm 0.406) \text{Mor22m} \end{aligned} \quad (5)$$

$$Q^2_{\text{CV}} = 0.6108; Q^2_{\text{Cal}} = 0.6889; Q^2_{\text{Test}} = 0.4110 \quad (5)$$

نتایج مربوط به روش‌های S-MLR و GA-MLR در جدول‌های ۳ و ۴ نشان داده شده‌اند. جدول‌های ۵ و ۶ نشان دهنده ماتریس ضرایب همبستگی خطی برای مقادیر  $\log(1/\text{IC}_{50})$  و هشت متغیر موجود در مدل‌های MLR هستند. نتایج ماتریس ضرایب همبستگی بیانگر این موضوع است که بین توصیفگرهای انتخاب شده همبستگی وجود نداشته و توصیف گرها مستقل از هم

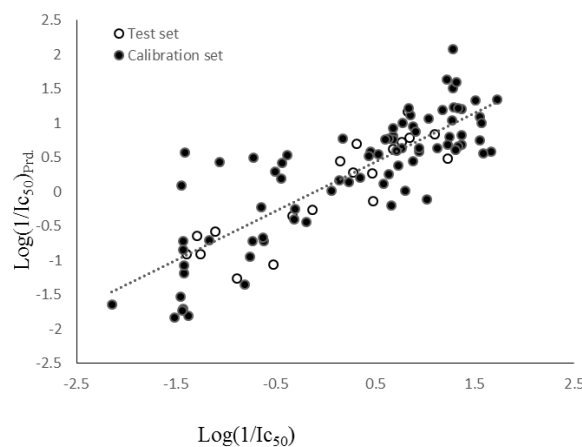
معکوس با فعالیت دارد با افزایش آن این توصیفگر، فعالیت ترکیبات کاهش می‌یابد. توصیفگرهای nCp و nNRR2 متعلق به توصیفگرهای شمارش گروه عاملی هستند که به ترتیب با شمارش تعداد آمین نوع سوم، تعداد کربن نوع اول انتها<sup>۳</sup> و تعداد سولفیدها محاسبه می‌شوند. این گروه جزو ساده‌ترین توصیفگرهای دراگون هستند. علامت مثبت این ضرایب بیانگر اثر مثبت این متغیرها بر روی  $\log(1/\text{IC}_{50})$  و درنتیجه با افزایش این توصیفگرها فعالیت این ترکیبات افزایش می‌یابد.

توصیفگرهای Mor07e و Mor16p متعلق به دسته توصیفگرهای سه بعدی مورس (3D-MoRSE) هستند که به ترتیب توسط قطبش و الکترونگاتیویته ساندرسون توزین شده است. توصیفگرهای سه بعدی مورس (نمایش سه بعدی مولکول از سازه‌های مبتنی بر پراش الکترونی) از شبیه‌سازی طیف‌های مادون قرمز با استفاده از یک تابع پراکندگی عمومی مشتق شده است (۳۰). توصیفگرهای Mor16p و Mor03p به ترتیب نمایانگر سیگنال ۳ و ۱۶ از توصیفگرهای 3D-MoRSE هستند که با استفاده از قطبش پذیری توزین شده است و ضرایب منفی این دو توصیفگر نشان دهنده اثر منفی بر روی  $\log(1/\text{IC}_{50})$  و در نتیجه اثر منفی بر روی فعالیت دارو است. توصیفگر نمایانگر سیگنال ۷ از توصیفگرهای 3D-MoRSE ۳D است که با استفاده از الکترونگاتیویته ساندرسون توزین شده است و ضرایب مثبت آن نشان دهنده اثر منفی بر روی فعالیت دارو است. توصیفگر ISH متعلق به توصیفگرهای GETAWAY است. توصیفگرهای GETAWAY از جمله توصیفگرهایی هستند که اخیراً ارایه شده و مربوط به ساختار شیمیایی مولکول‌ها هستند. این گروه از توصیفگرها به منظور جور نمودن هندسه سه بعدی مولکول طراحی شده‌اند و از عنصر  $\text{H}$  از ماتریس نفوذ مولکولی (H) به دست آمده از طریق مختصات کارتزین اتمی، مشتق شده‌اند (۳۱,۳۲). توصیفگر ISH دارای ضریب مثبت است که نشان دهنده تاثیر مثبت این متغیر بر روی  $\log(1/\text{IC}_{50})$  و در نتیجه تاثیر منفی بر روی  $\text{IC}_{50}$  است و با افزایش این توصیفگر فعالیت ترکیب افزایش می‌یابد.

در این تحقیق مدلسازی QSAR برای رابطه ساختار-فعالیت ترکیبات آرو-۴-دی‌هیدرو-۴-اکسو-۱-تیازول-۱-و-۸-نفتیریدین و مشتقات آن به دست آمد. داده‌ها به روش تصادفی به دو دسته واسنجی و آزمون شکافته شدن. تاثیر انتخاب دسته‌های تصادفی متفاوت به روش تصادفی بر روی میزان پیشگویی مدل مورد بررسی قرار گرفت. انتخاب بهترین توصیف‌گرها از میان توصیفگرهای موجود توسط روش‌های GA-MLR و S-MLR انجام شد. آماره اعتبارسنجی خارجی گزارش شده برای هر مدل،

هستند و نتایج به دست آمده از مدلسازی دال بر وابستگی توصیف کننده‌ها نیست. همان طور که در جدول ۴ و ۶ مشاهده می‌شود ضریب همبستگی هر جفت توصیف کننده در روش-GA-MLR کمتر از ۰/۴۸۵ است و برای مدل S-MLR ضریب همبستگی هر جفت توصیفگرها کمتر از ۰/۴۳۲ است.

ضریب رگرسیونی استاندارد حاصل از مدلسازی GA-MLR اهمیت نسبی توصیفگرها را نشان می‌دهد. مهمترین توصیفگر RDF055e است و سایر توصیفگرها به ترتیب اهمیت عبارتند از: Mor03p>nCp>Mor16p>nNRR2>Mor07e>nNRR2>ISH مقادیر توصیفگرهای مولکولی، مقادیر  $\log(1/\text{IC}_{50})$  آزمایشی و پیشگویی شده توسط مدل GA-MLR برای دسته واسنجی و دسته آزمون در جدول ۷ می‌توان مشاهده کرد؛ به علاوه نمودار ۱، نمودار مقادیر  $\log(1/\text{IC}_{50})$  پیشگویی شده در برابر آزمایشی مربوط به مدل GA-MLR برای دسته واسنجی و آزمون ترکیبات ضدسرطان را نشان می‌دهد.



نمودار ۱. نمودار مقادیر  $\log(\text{IC}_{50})$  پیشگویی شده در برابر آزمایشی مربوط به مدل GA-MLR برای دسته واسنجی و آزمون ترکیبات ضدسرطان

## بحث

با تفسیر و ارزیابی توصیفگرهای بهترین مدل GA-MLR این امکان برای بدست آوردن بینش شیمیایی مفید برای طراحی دارو وجود دارد. به همین دلیل، تفسیر قابل قبول از نتایج QSAR در زیر ارائه شده است.

توصیفگر RDF055e متعلق به دسته توصیفگرهای RDF، توصیف گر تابع توزیع شعاعی است که توسط الکترونگاتیویته ساندرسون وزن شده است (۲۹). ضریب منفی این توصیفگر در معادله QSAR نشان دهنده تاثیر منفی بر روی  $\log(1/\text{IC}_{50})$  و در نتیجه تاثیر مثبت بر روی  $\text{IC}_{50}$  دارد و با توجه به آنکه  $\text{IC}_{50}$  رابطه

است. مطابق نتایج حاصل از هر دو روش می توان نتیجه گرفت که روش GA-MLR نسبت به S-MLR روش قدرتمندتری است و نتایج به دست آمده می تواند در طراحی و سنتز داروهای ضد سرطان بسیار سودمند باشد.

مبنا برای مقایسات نهایی است. نتایج این مقایسه نشان می دهد که مدل های QSAR به دست آمده با روش GA-MLR دارای مجذور ضریب همبستگی اعتبارسنجی بزرگتری نسبت به روش S-MLR می باشند. نتایج نشان می دهند که مقادیر  $Q^2_{\text{test}}$  برای روش های S-MLR و GA-MLR به ترتیب ۰/۴۱۱ و ۰/۶۷۳۴ هستند.

## REFERENCES

- Funatsu K, Miyao T, Arakawa M, Systematic generation of chemical structures for rational drug design based on QSAR models. *Curr Comput Aided Drug Des* 2011; 7: 1-9.
- Ahmadi S, Habibpour E, Application of GA-MLR for QSAR modeling of the arylthioindole class of tubulin polymerization inhibitors as anticancer agents. *Anticancer Agents Med Chem* 2017; 17: 552-65.
- Ahmadi S, Ganji S, Genetic algorithm and self-organizing maps for QSPR study of some N-aryl derivatives as butyrylcholinesterase inhibitors. *Curr Drug Discov Technol* 2017; 13: 232-53.
- Ahmadi S, Khazaie MR, Abdolmaleki A, Quantitative structure-property relationship study on the intercalation of anticancer drugs with ct-DNA. *Med Chem Res* 2014; 23:1148-61.
- Spiegel K, Magistrato A, Modeling anticancer drug-DNA interactions via mixed QM/MM molecular dynamics simulations. *Org Biomol Chem* 2006; 4: 2507-17.
- Goodarzi M, Dejaegher B, Vander Heyden Y, Feature selection methods in QSAR studies. *J AOAC Int* 2012; 95: 636-651.
- Gonzalez MP, Teran C, Saiz-Urra L, Teijeira M, Variable selection methods in QSAR: an overview. *Curr Topics Med Chem* 2008; 8: 1606-27.
- Leardi R, Genetic algorithms in chemometrics and chemistry: a review. *J Chemometr* 2001; 15: 559-69.
- Lucasius CB, Beckers MLM, Kateman G, Genetic algorithms in wavelength selection: a comparative study. *Anal Chim Acta* 1994; 286: 135-53.
- Shayanfar A, Ghasemi S, Soltani S, Asadpour-Zeynali K, Doerkens RJ, Jouyban A, Quantitative structure-activity relationships of imidazole-containing farnesyltransferase inhibitors using different chemometric methods. *Med Chem* 2013; 9: 434-48.
- Bohari MH, Srivastava HK, Sastry GN, Analogue-based approaches in anti-cancer compound modelling: the relevance of QSAR models. *Org Med Chem Lett* 2011; 1: 1-12.
- Bertoša B, Aleksić M, Karminski-Zamola G, Tomić S, QSAR analysis of antitumor active amides and quinolones from thiophene series. *Int J Pharm* 2010; 394: 106-14.
- Tomita K, Tsuzuki Y, Shibamori K, Tashima M, Kajikawa F, Sato Y, et al. Synthesis and structure-activity relationships of novel 7-substituted 1,4-dihydro-4-oxo-1-(2thiazolyl)-1,8-naphthyridine-3-carboxylic acids as antitumor agents. Part1. *J Med Chem* 2002; 45: 5564-75.
- Tsuzuki Y, Tomita K, Shibamori K, Sato Y, Kashimoto S, Chiba K, Synthesis and structure-activity relationships of novel 7-substituted 1,4-dihydro-4-oxo-1-(2-thiazolyl)-1,8-naphthyridine-3-carboxylic acids as antitumor agents. Part 2. *J Med Chem* 2004; 47: 2097-109.
- Tsuzuki Y, Tomita K, Sato Y, Shibamori K, Kashimoto S, Chiba K, Synthesis and structure-activity relationships of 3- substituted 1,4-dihydro-4-oxo-1-(2-thiazolyl)-1,8-naphthyridines as novel antitumor agents. *Bioorg Med Chem Lett* 2004; 14: 3189-93.
- Ahmadi S, Babaee E, khazaei MR, Application of self organizing maps and GA-MLR for the estimation of stability constant of 18-crown-6 ether derivatives with sodium cation. *J Incl Phenom Macrocycl Chem* 2014; 79: 141-49.
- Ahmadi S, Deligeorgiev TG, Vasilev A, Kubista M, The dimerization study of some cationic monomethine cyanine dyes by chemometrics method. *Russ J Phys Chem A* 2012; 86: 1974-81.
- Ahmadi S, Application of GA-MLR method in QSPR modeling of stability constants of diverse 15-Crown-5 complexes with sodium cation. *J Incl Phenom Macrocycl Chem* 2012; 74: 57-66.
- Ahmadi S, A QSPR study of association constants of macrocycles toward sodium cation. *Macroheterocycles* 2012; 5: 23-31.
- Ghasemi JB, Ahmadi S, Brown SD, A quantitative structure-retention relationship study for prediction of chromatographic relative retention time of chlorinated monoterpenes. *Environ Chem Lett* 2011; 9: 87-96

21. Ghasemi JB, Ahmadi S, Ayati M, QSPR modeling of stability constants of the Li-hemispherands complexes using MLR: a theoretical host-guest study. *Macroheterocycles* 2010; 3: 234-42.
22. Ghasemi JB, Ahmadi S, Combination of genetic algorithm and partial least squares for cloud point prediction of nonionic surfactants from molecular structures. *Ann Chim Rome* 2007; 97: 69-83.
23. Rogers D, Hopfinger AJ, Application of genetic function approximation to quantitative structure-activity relationships and quantitative structure-property relationships *J Chem Inf Comput Sci* 1994; 34: 854-66.
24. Cho SJ, Hermsmeier MA, Genetc algorithm guided selection: variable selection and subset selection. *J Chem Inf Comput Sci* 2002; 42: 927-36.
25. Myers RH, Classical and modern regression with applications. Boston: PWS-KENT Publishing company; 1990.
26. Hintze J, NCSS – Number Cruncher Statistical System. UT: NCSS: Kaysville; 2001.
27. Jaiswal M, Khadikar PV, Scozzafava A, Supuran CT, Carbonic anhydrase inhibitors: the first QSAR study on inhibition of tumor-associated isoenzyme IX with aromatic and heterocyclic sulfonamides. *Bioorg Med Chem Lett* 2004; 14: 3283-90.
28. Shapiro S, Guggenheim B, Inhibition of oral bacteria by phenolic compounds part1 QSAR analysis using molecular connectivity *Quant Struct Act Relat* 1998; 17: 327-37.
29. Hemmer MC, Steinhauer V, Gasteiger J, Driving the 3D structure of organic molecules from their infrared spectra. *Vib Spectrosc* 1999; 19: 151-64.
30. Gasteiger J, Sadowski J, Schuur J, Selzer P, Steinhauer L, Steinhauer V, Chemical information in 3D space. *J Chem Inf Comput Sci* 1996; 36: 1030-37.
31. Consonni V, Todeschini R, M. Pavan, Structure/response correlations and similarity/diversity analysis by GETAWAY descriptors. 2. Theory of the novel 3D molecular descriptors. *J Chem Inf Comput Sci* 2002; 42: 682-92.
32. Consonni V, Todeschini R, Pavan M, Gramatica P, Structure/response correlations and similarity/diversity analysis by GETAWAY descriptors. 2. Application of the novel 3D molecular descriptors to QSAR/QSPR studies. *J Chem Inf Comput Sci* 2002; 42: 693-705.